К. т. н. А. П. Чижиков (🖾). А. С. Константинов

ФГБУН «Институт структурной макрокинетики и проблем материаловедения имени А.Г. Мержанова РАН (ИСМАН)», г. Черноголовка Московской обл., Россия

УДК 544.45,53.091,53.092

ПОЛУЧЕНИЕ КЕРАМИЧЕСКИХ ПЛАСТИН НА ОСНОВЕ Al_2O_3 - TiB_2 МЕТОДОМ СВОБОДНОГО СВС-СЖАТИЯ

Методом свободного СВС-сжатия получены керамические пластины размерами $90\times40\times7$ мм и плотностью 3,41 г/см³. Полученные пластины состоят из трех фаз: оксида алюминия, диборида титана и муллита. Пластины имеют композиционную структуру: матрицу на основе Al_2O_3 с распределенными в ней частицами диборида титана. Также в структуре полученных пластин наблюдались вискеры моноборида титана толщиной около 100 нм. Представлены результаты высокотемпературных испытаний пластин в интервале 900-1200 °C в течение 10 ч, получены зависимости истинной скорости привеса массы и удельного привеса массы образцов в ходе испытаний.

Ключевые слова: самораспространяющийся высокотемпературный синтез, свободное *CBC-сжатие*, композиционный материал.

ВВЕДЕНИЕ

овременная металлургическая промышлен-**≠**ность испытывает большую потребность в разработке новых материалов, способных выдерживать не только высокие температуры, но и абразивное воздействие различных расплавов [1-3]. В качестве таких материалов могут быть использованы керамические композиции на основе оксидов, упрочненных различными твердыми частицами, например боридов и карбидов [4, 5]. Среди оксидных керамических материалов широкое распространение получила керамика на основе Al₂O₃ благодаря сочетанию полезных эксплуатационных свойств и высокой доступности [6-8]. Керамика на основе Al₂O₃ обладает высокими показателями твердости и химической инертности [9]. Однако эта керамика обладает и рядом недостатков, например, хрупкостью и низкой способностью сопротивляться термоудару [10]. Улучшить свойства керамики можно путем создания керамических композиционных материалов на основе Al₂O₃, в котором распределены упрочняющие частицы карбидов. боридов, нитридов и т. д. [11, 12]. Так, например, добавление частиц диборида и дисилицида титана в Al₂O₃ дает возможность получить ком-

 \bowtie

A. П. Чижиков E-mail: chij@ism.ac.ru позиционный материал с высокой твердостью, вязкостью разрушения и пределом прочности при разрыве [13, 14]. Введение 10,5 об. % ТіС в Al_2O_3 позволяет повысить вязкость разрушения материала по сравнению с чистым Al_2O_3 на 17 % [15]. Использование частиц кубического нитрида бора в качестве упрочняющей фазы до 20 об. % повышает вязкость разрушения композиционного материала на 1,5 МПа·м¹/2 [16]. Таким образом, создание композиционных материалов на основе Al_2O_3 является перспективным способом для расширения и улучшения свойств таких материалов и применения их в новых областях металлургии.

На сегодняшний день существует большое количество методов синтеза керамических композиционных материалов и получения изделий на их основе [17]. К перспективным методам получения изделий из композитной керамики является самораспространяющийся высокотемпературный синтез (СВС) [18, 19]. Для организации процесса прямого получения изделий в 1975 г. были начаты исследования по разработке метода, сочетающего СВС с последующим прессованием горячих продуктов горения [20, 21]. Особенно перспективен данный метод для получения крупных изделий, габариты которых превышают 100 мм [22]. Так как изготовление таких изделий традиционными методами. такими как спекание и горячее прессование, является трудоемким и энергозатратным, преимущества СВС-процессов очевидны. Процесс СВС-прессования осуществляется в условиях пристенного внешнего трения по поверхности пресс-формы, и из-за потерь на межчастичное и внешнее трение происходит резкое уменьшение усилия прессования по высоте порошковой заготовки. Чем больше внешнее трение, тем больше неоднородность распределения давления, плотности и прочности в получаемой прессовке. Из-за внешнего трения одностороннее прессование практически непригодно для получения прессовок с отношением высоты к диаметру более 2.

В дальнейшем были разработаны методы прямого получения изделий в одну технологическую стадию в результате сочетания СВСпроцесса и последующего высокотемпературного сдвигового деформирования продуктов синтеза, а именно СВС-экструзии [23] и свободного СВС-сжатия [24, 25]. Применение этих методов позволяет избежать необходимости внешнего нагрева и длительной выдержки за счет использования внутренней энергии, выделяющейся в ходе химической реакции. Для СВС характерна высокая температура реакции (выше 2000 °C) [26], синтезируемые продукты находятся в пластичном состоянии. Таким образом, за счет приложения давления непосредственно после окончания химической реакции продукты синтеза могут быть скомпактированы до беспористого состояния и нужного размера. При свободном СВС-сжатии используется наиболее благоприятная схема напряженного состояния и сдвигового пластического деформирования материала, что способствует «залечиванию» макротрещин и пор в деформированном материале, дает возможность получать прессовки с отношением высоты к диаметру более 2 и использовать гидравлические прессы с малым **усилием.**

Цель настоящей работы — получение керамических пластин на основе Al_2O_3 - TiB_2 методом свободного СВС-сжатия, а также изучение их фазового состава, микроструктуры и свойств.

МАТЕРИАЛЫ И МЕТОДИКИ

Объектом исследования является исходная порошковая система $3\text{TiO}_2 + 4\text{Al} + 2\text{SiO}_2 + 6\text{B} + x(\text{Ti} + 2\text{B})$, где x — содержание от 0 до 30 мас. % (табл. 1). Синтез керамических композиционных материалов в указанной системе осуществляли в режиме СВС. Оксид титана восстанавливается алюминием с образованием оксида алюминия и свободного титана, который, взаи-

Таблица 1. Соотношение исходных компонентов, мас. %

Состав	TiO ₂	Al	SiO ₂	В	Ti
1	45,0	20,3	22,5	12,2	_
2	40,5	18,3	20,2	14,1	6,9
3	36,0	16,2	18,0	16,0	13,8
4	31,5	14,2	15,8	17,8	20,7

модействуя со свободным бором, образовывает диборид титана. Образовавшийся оксид алюминия взаимодействует с оксидом кремния с образованием муллита.

Керамические пластины получали методом свободного СВС-сжатия, масса исходных образцов составляла 100 г, давление прессования 60 МПа. В результате были получены керамические пластины размерами 90×40×7 мм.

Плотность полученных пластин измерялась гидростатическим методом. Испытания на жаростойкость проводили в высокотемпературной печи в воздушной среде в течение 10 ч при 900–1200 °С. Фазовый состав и микроструктуру изучали с помощью рентгенофазового анализа (РФА) и сканирующей электронной микроскопии (СЭМ).

РЕЗУЛЬТАТЫ И ИХ ОБСУЖДЕНИЕ

Исходная многокомпонентная система выбрана таким образом, чтобы в результате СВС получить керамический композиционный материал. В данном материале матрицей является Al_2O_3 , упрочненный частицами TiB_2 . Также в систему был введен SiO_2 в качестве огнеупорной составляющей, который с Al_2O_3 способен образовывать муллит.

При изменении соотношения исходных компонентов фазовый состав продуктов синтеза качественно не меняется, в результате СВС образовывались три фазы: Al_2O_3 , TiB_2 и муллит (рис. 1, табл. 2).

Из состава 1 (с наибольшим содержанием муллита), методом свободного СВС-сжатия получены керамические пластины (рис. 2). Фазовый состав полученных пластин совпадал с составом материала, синтезированного без приложения давления (см. рис. 1, состав 1).

Полученные пластины имеют композиционную структуру (рис. 3) — оксидную матрицу (спектры S6, S6) с распределенными в ней частицами TiB_2 (спектры S1, S2). В структуре материала также присутствуют пластинчатые частицы, соответствующие TiB_2 , толщиной около 100 нм (рис. 4). Из-за их малого количества они не отображаются на $\mathrm{P}\Phi\mathrm{A}$. Плотность полученных пластин составила 3,41 г/см³.

Высокотемпературные испытания полученных пластин показали, что в первый час термообработки наблюдается максимальная скорость прироста массы образцов при всех температурах (рис. 5, *a*). Далее, за счет образования плен-

Таблица 2. **Соотношение фаз в синтезированных** материалах, мас. %

Состав	Al_2O_3	TiB ₂	Муллит
1	37,2	52,5	10,3
2	45,1	47,3	7,6
3	35,9	59,3	4,8
4	31,9	62,4	5,7

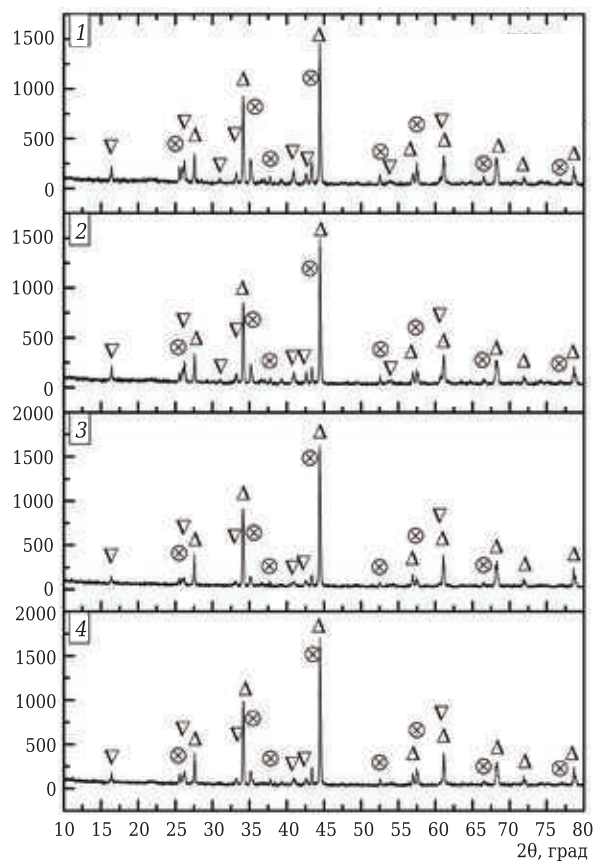
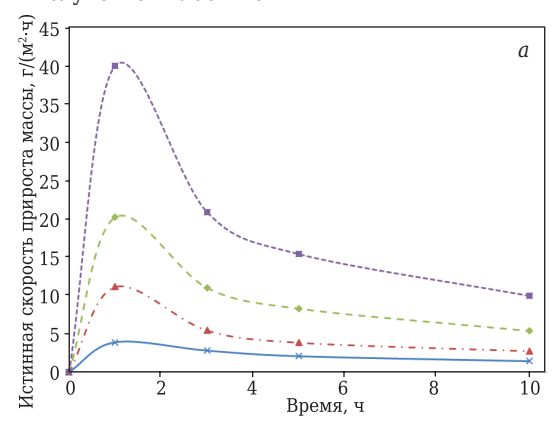


Рис. 1. Фазовый состав синтезированных материалов: 1 — без добавки (Ti + 2B); 2 — с добавкой 10 мас. % (Ti + 2B); 3 — с добавкой 20 мас. % (Ti + 2B); 4 — с добавкой 30 мас. % (Ti + 2B); Δ — Δ —



Рис. 2. Полученная пластина



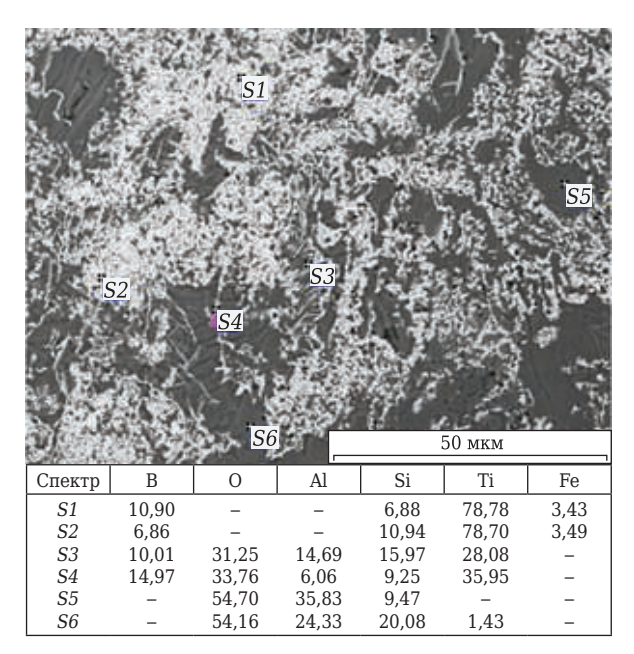


Рис. 3. Микроструктура полученных пластин

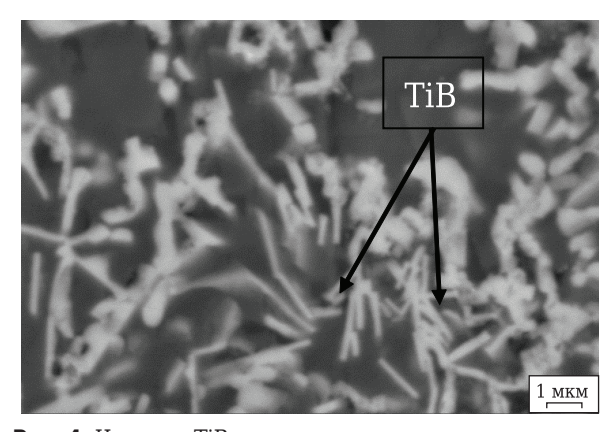


Рис. 4. Частицы TiB в структуре полученных пластин

ки на поверхности, скорость привеса снижается и постепенно выходит на плато. При температуре отжига 900 °C скорость прироста массы слабо меняется в ходе испытаний, в первый час ее величина составляет 3,9 г/(м²-ч), через 10 ч — 1,42 г/(м²-ч). При температуре отжига 1200 °C

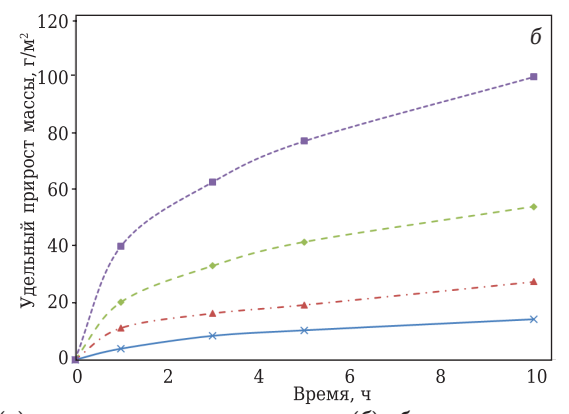


Рис. 5. Зависимости истинной скорости прироста массы (*a*) и удельного прироста массы (*б*) образцов от времени. Температура термообработки: $\times -900$ °C; $\blacktriangle -1000$ °C; $\blacksquare -1200$ °C

скорость прироста массы в первый час максимальная и достигает величины 40 г/(м²·ч), затем резко падает, и через 10 ч испытаний ее величина становится 10 г/(м²·ч). При 900 °C за 10 ч величина удельного прироста массы составила 14 г/м² (рис. 5, б). При дальнейшем повышении температуры отжига величина прироста массы плавно возрастает, а при достижении 1200 °C резко возрастает до 100 г/м². В работе [27] показано, что керамический композиционный материал состава Al₂O₃-TiB₂, полученный в результате сочетания СВС-процессов и динамического компактирования, в ходе отжига при 900 °C в течение 5 ч имел прирост массы около 8 %. Образцы, полученные в настоящей работе при той же температуре отжига в течение 10 ч, имели значительно меньший прирост (0,35 %), что указывает на их преимущества по сравнению с материалами, полученными СВСкомпактированием.

Библиографический список

- 1. **Poirier, J.** New advances in the laboratory characterization of refractories: testing and modelling / J. Poirier, E. Blond, E. de Bilbao [et al.] // Metallurgical Research & Technology. 2017. Vol. 114, № 6. P. 1–16.
- 2. **Poirier**, **J.** A review: influence of refractories on steel quality / **J.** Poirier // Metallurgical Research & Technology. 2015. Vol. 112, \mathbb{N}_2 4. Article \mathbb{N}_2 410.
- 3. **Ерохин, В. В.** Изготовление режущих пластин из минералокерамики на основе нанодисперсных порошков / В. В. Ерохин // Научно-технический вестник Брянского государственного университета. 2016. \mathbb{N} 4. С. 27–32.
- 4. **Torosyan, K. S.** Reactive, nonreactive, and flash spark plasma sintering of Al_2O_3/SiC composites A comparative study / K. S. Torosyan, A. S. Sedegov, K. V. Kuskov [et al.] // J. Am. Ceram. Soc. 2020. Vol. 103, $N_2 1$. P. 520–530.
- 5. **Yang, P.** Mechanism of self-propagating high-temperature synthesis of $AlB_2-Al_2O_3$ composite powders / P. Yang, G. Q. Xiao, D. H. Ding [et al.] // Refract. Ind. Ceram. 2019. Vol. 60, № 1. P. 46–54.
- **Ян, П.** Механизм самораспространяющегося высокотемпературного синтеза композитных AlB_2 - Al_2O_3 порошков / П. Ян, Г. Сяо, Д. Дин [и др.] // Новые огнеупоры. 2019. № 1. С. 27–36.
- 6. **Abyzov, A. M.** Aluminum oxide and alumina ceramics (review). Part 1. Properties of Al_2O_3 and commercial production of dispersed Al_2O_3 / A. M. Abyzov // Refract. Ind. Ceram. 2019. Vol. 60, No. 1. P. 24–32.
- **Абызов, А. М.** Оксид алюминия и алюмооксидная керамика (обзор). Часть 1. Свойства Al_2O_3 и промышленное производство дисперсного Al_2O_3 / А. М. Абызов // Новые огнеупоры. 2019. № 1. С. 16–23.
- 7. *Panasyuk, G. P.* A new method for synthesis of fine crystalline magnesium aluminate spinel / *G. P. Panasyuk, I. V. Kozerozhets, M. N. Danchevskaya* [et al.] // Doklady Chemistry. 2019. Vol. 487. P. 218–220.
- 8. **Panasyuk, G. P.** Preparation of fine-grained corundum powders with given properties: crystal size and habit control / G. P. Panasyuk, L. A. Azarova, V. N. Belan [et al.]

ЗАКЛЮЧЕНИЕ

Впервые методом свободного СВС-сжатия в условиях горения и высокотемпературного сдвигового деформирования получены керамические пластины на основе Al_2O_3 – TiB_2 размерами $90\times40\times7$ мм и плотностью 3,41 г/см³, которые имеют композиционную структуру в виде матрицы на основе Al_2O_3 с распределенными в ней частицами TiB_2 . В структуре полученных пластин также наблюдали вискеры TiB толщиной около 100 нм;

В результате высокотемпературных испытаний полученных пластин показано, что в первые часы термообработки наблюдается максимальная скорость прироста массы образцов, которая после первого часа снижается и постепенно выходит на плато. Полученные образцы имеют прирост массы 0,35 %, что свидетельствует о перспективности их применения при высоких температурах.

- // Theoretical Foundations of Chemical Engineering. 2018. Vol. 52, Noleta 5. P. 879–886.
- 9. **Abyzov, A. M.** Research on the development of high-quality aluminum oxide ceramic (review). Part 1. Sintering with additives, reactive sintering, production of reinforced composites / A. M. Abyzov // Glass and Ceramics. 2018. Vol. 75, Ne 7/8. P. 293–302.
- 10. **Shen, Z. J.** Spark plasma sintering of alumina / Z. J. Shen, M. Johnsson, Z. Zhao [et al.] // J. Am. Ceram. Soc. 2002. Vol. 85, No 8. P. 1921-1927.
- 11. **Tai, Q.** Review: High temperature deformation of Al_2O_3 -based ceramic particle or whisker composites / Q. Tai, A. *Mocellin* / Ceram. Int. 1999. Vol. 25, No 5. P. 395–408.
- 12. **Galusek, D.** Alumina matrix composites with non-oxide nanoparticle addition and enhanced functionalities / D. Galusek, D. Galuskova // Nanomaterials. 2015. Vol. 5, N 1. P. 115–143.
- 13. **Li, M. S.** Crack-healing behavior of Al_2O_3 -Ti B_2 -Ti Si_2 ceramic material / M. S. Li, C. Z. Huang, B. Zhao [et al.] // Ceram. Int. 2018. Vol. 44, No. 2. P. 2132–2137.
- 14. *Li, M. S.* Mechanical properties and microstructure of Al_2O_3 - TiB_2 - $TiSi_2$ ceramic tool material / *M. S. Li, C. Z. Huang, B. Zhao* [et al.] // Ceram. Int. 2017. Vol. 43, № 16. P. 14192–14199.
- 15. **Shi**, **S. F.** Ti and TiC co-toughened Al $_2$ O $_3$ composites by in-situ synthesis from reaction of Ti and MWCNT/S. F. Shi, T. Sekino, S. H. Cho [et al.] // Materials Science and Engineering a-Structural Materials Properties Microstructure and Processing. 2020. Vol. 777. Article № 139066.
- 16. **Klimczyk**, **P.** Phase stability and mechanical properties of Al_2O_3-c -BN composites prepared via spark plasma sintering / *P. Klimczyk*, *P. Wyzga*, *J. Cyboron* [et al.] // Diamond and Related Materials. 2020. Vol. 104. Article № 107762.
- 17. **Schneider, H.** Structure and properties of mullite A review / H. Schneider, J. Schreuer, B. Hildmann // J. Eur. Ceram. Soc. 2008. Vol. 28, \mathbb{N} 2. P. 329–344.
- 18. **Shaikh**, **N.** Self-propagating high-temperature synthesized ceramic materials for oil and gas wells:

- application and the challenges / N. Shaikh, K. Patel, S. Pandian [et al.] // Arabian Journal of Geosciences. — 2019. — Vol. 12, № 17. — Article № 538.
- 19. Gao, H. D. Manufacture and characteristics of Al₂O₃ composite coating on steel substrate by SHS process / H. D. Gao, Z. H. Wang, J. Shao // Rare Metals. — 2019. — Vol. 38, № 7. — P. 704–712.
- 20. Рогачев, А. С. Горение для синтеза материалов: введение в структурную макрокинетику / А. С. Рогачев, А. С. Мукасьян. — М.: Физматлит, 2012. — 400 с.
- 21. Кванин, В. Л. Получение крупногабаритных твердосплавных изделий — одно из технологических направлений, использующих процесс СВС / В. Л. Кванин, Н. Т. Балихина // Известия вузов. Цветная металлургия. — 2006. — № 5. — С. 50-61.
- 22. Амосов, А. П. Порошковая технология самораспространяющегося высокотемпературного синтеза материалов / А. П. Амосов, И. П. Боровинская, А. Г. *Мержанов.* — М.: Машиностроение, 2007. — 567 с.
- 23. Pazniak, A. Dense Ti₃AlC₂ based materials obtained by SHS-extrusion and compression methods / A. Pazniak, P. Bazhin, I. Shchetinin [et al.] // Ceram. Int. — 2019. — Vol. 45, № 2. — P. 2020–2027.
- 24. Stolin, A. M. Free SHS-compression method for producing large-sized plates from ceramic materials

- / A. M. Stolin, P. M. Bazhin, A. S. Konstantinov [et al.] // Refract. Ind. Ceram. — 2019. — Vol. 60, № 3. — P. 261–263.
- Столин, А. М. Метод свободного СВС-сжатия для получения крупногабаритных плит из керамических материалов / А. М. Столин, П. М. Бажин, А. С. Константинов [и др.] // Новые огнеупоры. — 2019. — № 5. — C. 100-103.
- 25. Stolin, A. M. Production of large compact plates from ceramic powder materials by free SHS compaction / A. M. Stolin, P. M. Bazhin, A. S. Konstantinov [et al.] // Doklady Chemistry. — Vol. 480. — P. 136-138.
- 26. Aulchenko, V. M. Investigations of fast processes by X-ray diffraction methods at the Siberian Synchrotron and Terahertz Radiation Center / V. M. Aulchenko, V. V. Zhulanov, G. N. Kulipanov [et al.] // Physics-Uspekhi. — 2018. — Vol. 61, № 6. — P. 515-530.
- 27. Mishra, S. K. Alumina-titanium diboride in situ composite by self-propagating high-temperature synthesis (SHS) dynamic compaction: effect of compaction pressure during synthesis / S. K. Mishra, V. Gokuul, S. Paswan // Int. J. Refract. Met. Hard Mater. — 2014. — Vol. 43. — P. 19–24. ■

Получено 22.01.21 © А. П. Чижиков, А. С. Константинов, 2021 г.

НАУЧНО-ТЕХНИЧЕСКАЯ ИНФОРМАЦИЯ



Nº 2 2021 HOBBIE OTHEYNOPBI ISSN 1683-4518 39